

ТРАНСФОРМАЦИЯ ВОЛН НА ПРОНИЦАЕМОМ ВОЛНОЛОМЕ

Abstract: The modification basis of the “mild slope” equation describing the surface waves transformation in the coastal zone with dissipation region of porous rubble-mound breakwater type has been done. The tests have been fulfilled for given breakwater characteristics.

Key words: rubble-mound breakwater, “mild slope” equation, surface waves, dissipation region.

Анотація: Представлено обґрунтування щодо модифікації рівняння “положистих схилів”, що описують розповсюдження поверхневих хвиль у прибережній зоні, яка містить область дисипації хвильової енергії у вигляді насипної конструкції. Проведені тести, пов’язані з характеристиками конструкції.

Ключові слова: насипна конструкція, рівняння „положистих схилів”, поверхневі хвилі, область дисипації.

Аннотация: Дано обоснование модификации уравнения “пологих склонов”, описывающих распространение поверхностных волн в прибрежной зоне с областью диссипации волновой энергии в виде волнолома насыпной конструкции. Проведены тесты для заданных характеристик волнолома.

Ключевые слова: насыпная конструкция, уравнение „пологих склонов”, поверхностные волны, область диссипации.

1. Введение

Влияние диссипации энергии на распространение поверхностных волн представляет собой один из важных объектов исследования для практических инженерных задач в прибрежной зоне шельфа. Диссипация волновой энергии может быть вызвана такими факторами, как донное трение, волновое обрушение, насыпные волноломы вблизи берега.

Согласно экспериментальным работам Мадсена и Уайта, Соллита и Кросса, упомянутым в [1], насыпные волноломы можно рассматривать как область диссипации волновой энергии, резко изменяющейся от нуля в области, удаленной от волнолома, до некоторого конечного значения внутри последнего. В статье [1] рассмотрено аналитическое решение для уравнения «пологих склонов» [2], модифицированное в области диссипации энергии на основе предположения Бойа [3]. В настоящей работе дано обоснование такой модификации уравнения «пологих склонов» с учетом медленно изменяющегося течения (что не нарушает общности вывода) и рассмотрены тесты для заданных коэффициентов отражения поверхностной волны, проходящей через волнолом насыпной конструкции.

2. Уравнение Навье-Стокса

Уравнение Навье-Стокса для несжимаемой вязкой жидкости в поле силы тяжести запишем в виде [4] (ось z направлена вертикально вверх):

$$\frac{\partial \vec{v}}{\partial t} + \frac{1}{2} \text{grad}(v)^2 - [\vec{v} \text{rot} \vec{v}] = -\frac{1}{\rho} \text{grad} \check{P} + \vec{g} + \nu \Delta \vec{v}, \quad (1)$$

$$\text{div} \vec{v} = 0, \quad (2)$$

$$\check{P} = p - \rho g z. \quad (3)$$

Будем предполагать, что

$$\vec{v} = \vec{U} + \vec{u} \quad (4)$$

есть векторная сумма, представляющая линейное взаимодействие поля течения $\vec{U} = \{U_1, U_2\}$ и волнового поля. При этом

$$\vec{u} = \alpha[\vec{u}_0 + \frac{1}{R}\vec{u}^{(v)}], \quad (5)$$

где

$$\vec{u}_0 = \text{grad}\check{\Phi}, \quad (6)$$

$$\frac{1}{R} = \frac{\nu}{cL_0}. \quad (7)$$

Здесь $\check{\Phi} = \check{\Phi}(x, y, z)$ – потенциал скорости, α – параметр крутизны волны, $c = \sqrt{gh}$ – фазовая скорость, L_0 – характерная длина волны, ν – кинематическая вязкость, $\vec{u}^{(v)} = \vec{u}^{(v)}(x, y, z)$ – слагаемое, связанное с вязкостью жидкости. Т.е. будем предполагать, что в основном слое жидкости $-h + \delta \leq z \leq \zeta$, где $\delta \rightarrow 0$ при $R \rightarrow \infty$, волновое движение описывается функцией, удовлетворяющей условию (6), а для функции $\vec{u}^{(v)}$ выполняются соотношения

$$\vec{u}^{(v)} \rightarrow 0, \quad z \rightarrow \infty, \quad (8)$$

$$(u_i^{(v)})_{x,y} = O(\varepsilon), \quad (u_i^{(v)})_z = O(1/R), \quad (9)$$

где ε – уклон дна.

Для искомой функции \vec{u} выполняется условие прилипания на дне

$$\vec{u} = 0, \quad z = -h(x, y). \quad (10)$$

Кроме того, будем предполагать, что

$$p = p_0 + \alpha p_1, \quad (11)$$

$$U_{ix}, U_{iy} = O(\varepsilon), \quad h_x, h_y = O(\varepsilon).$$

Подставляя разложение искомых функций \vec{u}, p в (1) и собирая коэффициенты при степенях параметра α , получим в приближении $O(\alpha^0)$

$$\frac{1}{2} \frac{\partial}{\partial x} (\vec{U}^2) + \frac{1}{\rho} \frac{\partial}{\partial x} p_0 = \nu \Delta U_1 + (U_{2x} - U_{1y}) U_2, \quad (12)$$

$$\frac{1}{2} \frac{\partial}{\partial y} (\vec{U}^2) + \frac{1}{\rho} \frac{\partial}{\partial y} p_0 = \nu \Delta U_2 - (U_{2x} - U_{1y}) U_1, \quad (13)$$

$$\frac{1}{\rho} \frac{\partial}{\partial z} p_0 = 0. \quad (14)$$

При этом уравнение неразрывности для вектора \vec{U} имеет вид

$$(\nabla \cdot \vec{U})h + \vec{U} \cdot \nabla h = 0. \quad (15)$$

Т.к. из соотношения (14) следует, что функция p_0 не зависит от координаты z , представим ее в виде

$$p_0 = \rho g \zeta_0, \quad (16)$$

где ζ_0 – изменение уровня свободной поверхности, обусловленное течением \vec{U} , причем $\zeta_{0,x}, \zeta_{0,y} = O(\varepsilon)$.

Из условия линейности взаимодействия поля течения $\vec{U}(x, y)$ и волнового движения, описываемого функцией (5), из уравнения неразрывности (2) с точностью до членов порядка $O(\alpha\varepsilon, \alpha \frac{1}{R^2})$ следует, что

$$\nabla^2 \check{\Phi} + \frac{\partial^2 \check{\Phi}}{\partial z^2} = 0. \quad (17)$$

Тогда, для коэффициентов порядка $O(\alpha^1)$, принимая во внимание уравнение (17) и отбрасывая слагаемые порядка $O(\alpha\varepsilon, \alpha \frac{1}{R^2})$, а также (ввиду малости коэффициента кинематической вязкости ν) слагаемые порядка $O(\nu^2)$, система уравнений (1) будет иметь следующий вид:

$$\nabla_3(\check{\Phi}_t + U_1 \check{\Phi}_x + U_2 \check{\Phi}_y + \frac{1}{\rho} p_1) = 0, \quad (18)$$

$$\text{где } \nabla_3 = \frac{\partial}{\partial x}, \frac{\partial}{\partial y}, \frac{\partial}{\partial z}.$$

В полученных уравнениях компоненты поля течения входят как известные параметры, и движение волнового поля, описываемого функцией $\check{\Phi}(x, y, z, t)$, предполагается потенциальным, тогда для системы уравнений (18) интеграл Бернулли можно записать в виде

$$\frac{1}{\rho} p_1 = -(\check{\Phi}_t + U_1 \check{\Phi}_x + U_2 \check{\Phi}_y). \quad (19)$$

На поверхности

$$\zeta = \zeta_0 + \alpha \eta, \quad (20)$$

где η – возвышение свободной поверхности, соответствующее волновому движению, функция давления \check{P} с точностью до членов порядка $O(\alpha^2)$ будет записана следующим образом:

$$\frac{1}{\rho} \check{P}_{z=\zeta} = -\alpha(\check{\Phi}_t + U_1 \check{\Phi}_x + U_2 \check{\Phi}_y) - \alpha g \eta. \quad (21)$$

Поток импульса через поверхность $z = \zeta$ в направлении оси z есть

$$[\check{\Pi} \cdot n_3]_{z=\zeta} = [\check{P} \cdot n_3 - \sigma'_{3k} \cdot n_k + (v_3 v_k) \cdot n_k]_{z=\zeta}, k = 1, 2. \quad (22)$$

Так как вектор нормали к поверхности $z = \zeta$,

$$\vec{n} = \{n_1, n_2, n_3\} = \left\{ \frac{\partial \zeta}{\partial x}, \frac{\partial \zeta}{\partial y}, 1 \right\}, \quad (23)$$

то выражение (22) с точностью до членов порядка $O(\alpha\varepsilon, \alpha^2)$ переписывается:

$$[\check{\Pi}_3]_{z=\zeta} = [(\check{P} - \sigma'_{33})n_3]_{z=\zeta}, \quad (24)$$

где с точностью до членов порядка $O(v^2)$

$$\sigma'_{33} = \nu\rho\left(\frac{\partial u_3}{\partial z} + \frac{\partial u_3}{\partial z}\right) = \nu\rho(2\alpha\frac{\partial^2\check{\Phi}}{\partial z^2}). \quad (25)$$

С другой стороны, т.к.

$$[\check{\Pi}_3]_{z=\zeta} = [p_{атм} \cdot (-n_3)]_{z=\zeta}, \quad (26)$$

где $p_{атм}$ – атмосферное давление, получим из равенств (21) – (26), полагая $p_{атм} = 0$, выражение для возвышения свободной волновой поверхности η :

$$\eta = -\frac{1}{g}[\check{\Phi}_t + U_1\check{\Phi}_x + U_2\check{\Phi}_y + 2\frac{\nu}{g}\frac{\partial^2\check{\Phi}}{\partial z^2}]_{z=\zeta}. \quad (27)$$

Кинематическое условие для частиц жидкости на поверхности $z = \zeta$ с учетом условия (8) запишется:

$$[\frac{\partial\zeta}{\partial t} + v_1\frac{\partial\zeta}{\partial x} + v_2\frac{\partial\zeta}{\partial y} - v_3]_{z=\zeta} = 0. \quad (28)$$

Тогда, для членов порядка $O(\alpha)$ условие (28) будет иметь вид

$$[\frac{\partial\eta}{\partial t} + U_1\frac{\partial\eta}{\partial x} + U_2\frac{\partial\eta}{\partial y} - \check{\Phi}_z]_{z=\zeta} = 0. \quad (29)$$

Подставляя выражение (27) для η в (29), получим

$$[\check{\Phi}_z + \frac{1}{g}\frac{D^2}{Dt^2}\check{\Phi} + \frac{1}{g}\frac{D}{Dt}(2\nu\frac{\partial^2\check{\Phi}}{\partial z^2})]_{z=\zeta} = 0, \quad (30)$$

где

$$\frac{D}{Dt} = \frac{\partial}{\partial t} + \vec{U} \cdot \nabla.$$

3. Уравнения «пологих склонов» в основном потоке вязкой несжимаемой жидкости

Так как толщина придонного слоя $\delta \rightarrow 0$ при $R \rightarrow \infty$, заменим условие прилипания на дне (10) для функции \vec{u} условием непроницаемости на дне:

$$[\frac{\partial\check{\Phi}}{\partial z} - \nabla h \cdot \nabla\check{\Phi}]_{z=-h}. \quad (31)$$

Ниже, в **Приложении А**, будет показано, что решение в слое δ непрерывно связано с решением в основном слое потока жидкости: $-h + \delta \leq z \leq \zeta$.

Так как трансформация волн рассматривается в области с пологими неоднородностями дна $h_x, h_y = O(\varepsilon)$ и медленным изменением течения на расстояниях порядка длины волны $U_{ix}, U_{iy} \ll c/L_0$, $i = 1, 2$, будем искать функцию $\check{\Phi}$ в виде [1], [5]:

$$\check{\Phi} = \Phi(x, y, z, t) \cdot f(z),$$

$$\Phi(x, y, z, t) = \tilde{\varphi}(x, y, t) + \varepsilon^2 z^2 \tilde{\varphi}_1(x, y, t) + O(\varepsilon^4), \quad f(z) = \frac{chk(z+h)}{chk(h+\zeta_0)}. \quad (32)$$

Отметим, что представленная в виде разложения (32) функция $\check{\Phi}$ удовлетворяет условию прилипания на дне только в направлении оси z .

Применяя формулы Грина для функции $\check{\Phi}$, удовлетворяющей уравнениям (17), (30), (31), и к функции f , удовлетворяющей задаче Штурма-Лиувилля [5], аналогично [5], [6], с точностью до членов порядка $O(\varepsilon^2)$, получим уравнение «пологих склонов» для случая вязкой несжимаемой жидкости:

$$\frac{D^2}{Dt^2} \varphi + \frac{D}{Dt} \gamma_d \varphi - \nabla \cdot (b \nabla \varphi) + (\sigma^2 - k^2 b) \varphi = 0, \quad (33)$$

$$\eta = -\frac{1}{g} \left[\frac{\partial \varphi}{\partial t} + U_1 \frac{\partial \varphi}{\partial x} + U_2 \frac{\partial \varphi}{\partial y} + \gamma_d \varphi \right], \quad (34)$$

где волновые параметры определены как

$$c = \sqrt{\frac{g}{k} \tanh(k \cdot h)}, \quad c_g = \frac{1}{2} c \cdot (1 + G), \quad G = \frac{2kh}{\sinh(2kh)}, \quad b \equiv c \cdot c_g, \quad (35)$$

$$\omega = \sigma + \vec{k} \cdot \vec{U}, \quad \sigma^2 = gkth(kh). \quad (36)$$

Здесь $\gamma_d = 2\nu'k^2 f_\zeta$, и граничные условия для уравнения (33) нарушаются в придонном слое на поверхности $z = -h(x, y)$ в случае $\gamma_d \neq 0$.

4. Модифицированные уравнения «пологих склонов»

На основании вышеизложенного и обоснования, приведенного в **Приложении А**, можно предположить, согласно [3], что в случае идеальной несжимаемой жидкости уравнения «пологих склонов» (33), (34), описывающие распространение гармонических волн на медленно изменяющихся течениях, в области, имеющей зоны диссипации волновой энергии, имеют вид

$$\frac{D^2}{Dt^2} \tilde{\varphi} + \frac{D}{Dt} W \tilde{\varphi} - \nabla \cdot (b \nabla \tilde{\varphi}) + (\sigma^2 - k^2 b) \tilde{\varphi} = 0, \quad (37)$$

$$\tilde{\eta} = -\frac{1}{g} \left[\frac{\partial \tilde{\varphi}}{\partial t} + U_1 \frac{\partial \tilde{\varphi}}{\partial x} + U_2 \frac{\partial \tilde{\varphi}}{\partial y} + W \tilde{\varphi} \right], \quad (38)$$

где коэффициент W – функция рассматриваемой области пространства и, согласно определению [3], представляет собой скорость изменения диссипации энергии на единицу интенсивности волновой энергии.

Если представить решение уравнений (37), (38) в виде гармонических функций

$$\varphi = \varphi(x, y) \exp(-i\omega t), \quad \eta = \eta(x, y) \exp(-i\omega t), \quad (39)$$

то полученное уравнение (37 – 39) в случае $\vec{U} = 0$ совпадает с волновым уравнением «пологих склонов», приведенным в [1], [7].

$$\nabla \cdot (b \nabla \varphi) + b \left[k^2 + i \frac{k}{c_g} W \right] \varphi = 0. \quad (40)$$

5. Тестирование полученной модели

В [1] в случае постоянной глубины получено аналитическое решение для прохождения гармонической волны через область диссипации конечной длины. При этом коэффициент трансмиссии T_r получен для различных волновых чисел, длин волнолома и параметра W [1]:

$$T = \frac{2 - F \left(1 - \frac{\bar{k}}{k} \right)}{1 + \frac{\bar{k}}{k}} e^{i(\bar{k}-k)l} + F e^{-i(\bar{k}+k)l}, \quad (41)$$

где

$$\bar{k}^2 = k^2 \left(1 + \frac{W}{c_g k} \right), \quad F = \frac{2 \left(\frac{\bar{k}}{k} - 1 \right)}{\left(\frac{\bar{k}}{k} + 1 \right)^2 e^{-2i\bar{k}l} - \left(\frac{\bar{k}}{k} - 1 \right)^2}. \quad (42)$$

В настоящей работе с помощью процесса итераций по формулам (41), (42) решена обратная задача нахождения коэффициента диссипации W по заданному коэффициенту трансмиссии T_w , волновому числу k и длине волнолома l , а также проведено тестирование полученной модели уравнений (37 – 39), (38 – 40). Для этого рассмотрен одномерный случай распространения на постоянной глубине $h = 5 \text{ м}$ гармонической волны высотой $H_w = 1 \text{ м}$, с периодом $T = 2 \text{ с}$, подходящей к волнолому насыпной конструкции под прямым углом. Параметры длины и соответствующие коэффициенты диссипации, рассчитанные по формулам (41), (42), приведены в табл. 1 для заданного коэффициента трансмиссии $T_w = 0.5$.

Таблица 1. Зависимость коэффициента диссипации от параметров волнолома

Длина волнолома (м)	W (1/с)
0.5	6
1	2.75
2	1.2
6	0.37
12	0.18

Нижче показані результати чисельного моделювання хвилових висот з допомогою рівнянь (37), (38).

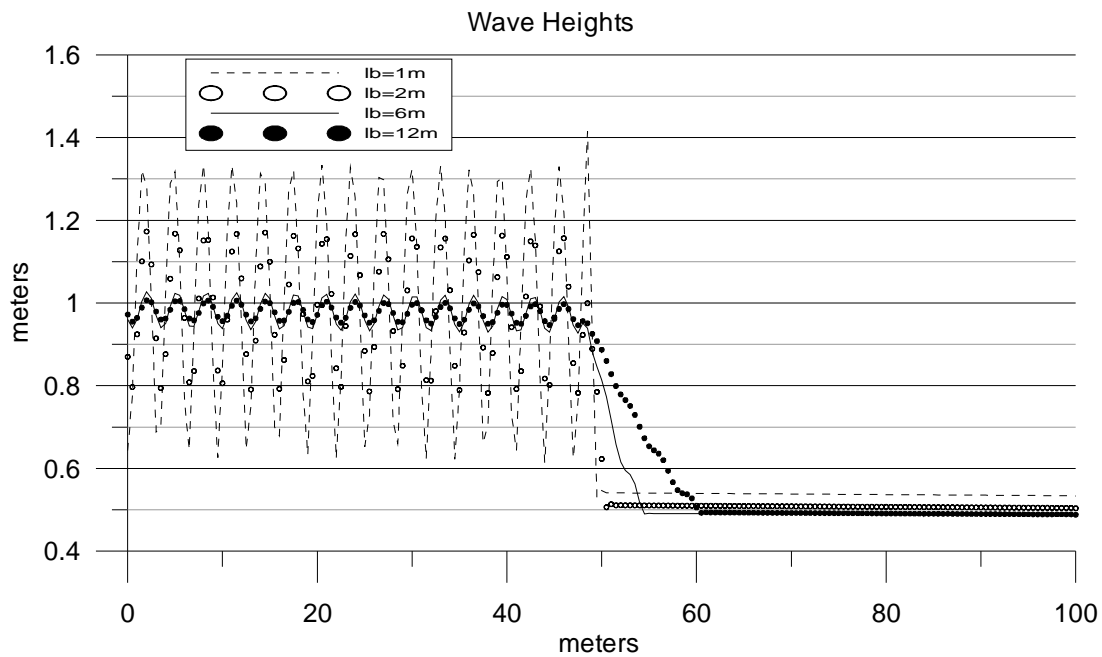


Рис. 1. Хвилові висоти для прямокутного хвилолома різної довжини

Як видно з рис. 1, довжина зони дисипації $l = 0.5m$ дає декілька завищений коефіцієнт $T_w \approx 0.6$. В інших випадках проходять в область за хвилоломом висоти хвилі дуже близькі до заданому коефіцієнту трансмісії $T_w = 0.5$.

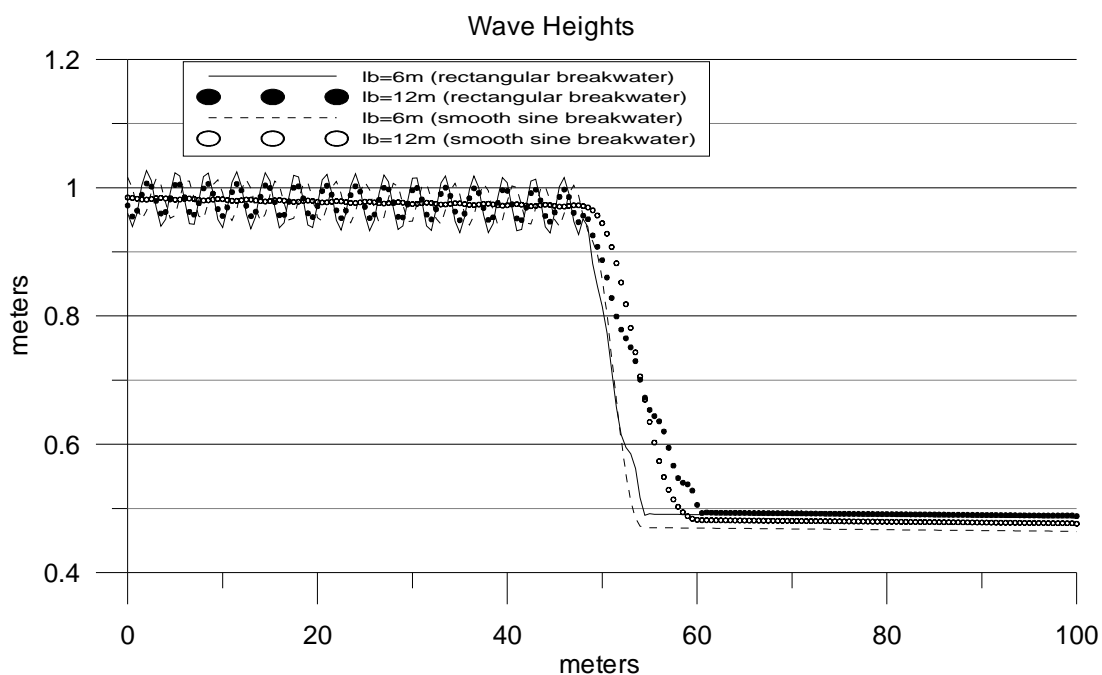


Рис. 2. Хвилові висоти для прямокутного хвилолома з різної формою розподілення коефіцієнту W

На рис. 2 показано сравнение волновых высот для длин волнолома $l = 6м$, $l = 12м$ с соответствующим значением коэффициента W из табл. 1 и распределением его в форме синуса с максимальным значением в середине области диссипации и нулевыми значениями на концах этой области. Для $l = 12м$ и случая сглаженной формы W можно видеть отсутствие отраженной волны.

6. Выводы

Дано обоснование модификации уравнения “пологих склонов”, описывающих распространение поверхностных волн в прибрежной зоне, содержащей область диссипации волновой энергии в виде волнолома насыпной конструкции. Проведены тесты для заданных характеристик волнолома.

Полученная модель (37), (38) может быть использована для инженерных задач прибрежной зоны шельфа.

Авторы благодарят к.ф.-м.н. М.И. Железняк за консультации при выполнении работы.

Приложение А

Покажем, что решение в придонном вязком слое толщины δ при удалении от донной поверхности $z = -h(x, y)$ будет асимптотически приближаться к решению в основном потоке $-h + \delta \leq z \leq \zeta$.

Для этого перепишем уравнение движения жидкости (1) для функции $\vec{v} = \vec{U} + \alpha \vec{u}$ (вектор $\alpha \vec{u} = \alpha \{u, v, w\}$ соответствует компоненте волнового движения). Учитывая, что

$$(\vec{v}\nabla)\vec{v} = \frac{1}{2} grad(v)^2 - [\vec{v}rot\vec{v}], \quad (A.1)$$

получим

$$\frac{\partial \vec{v}}{\partial t} + (\vec{v}\nabla)\vec{v} = -\frac{1}{\rho} grad P^\delta + \vec{g} + \nu \Delta \vec{v}, \quad (A.2)$$

где

$$P^\delta = p_0^\delta + \alpha p_1^\delta - \rho g z. \quad (A.3)$$

Для коэффициентов $O(\alpha^0)$

$$U_1 \frac{\partial U_1}{\partial x} + U_2 \frac{\partial U_1}{\partial y} + \frac{1}{\rho} \frac{\partial p_0^\delta}{\partial x} = \nu \Delta U_1, \quad (A.4)$$

$$U_1 \frac{\partial U_2}{\partial x} + U_2 \frac{\partial U_2}{\partial y} + \frac{1}{\rho} \frac{\partial p_0^\delta}{\partial y} = \nu \Delta U_2, \quad (A.5)$$

$$\frac{1}{\rho} \frac{\partial p_0^\delta}{\partial z} = 0. \quad (A.6)$$

Так как для поля течений $U_{ix}, U_{iy} = O(\varepsilon)$, то, пренебрегая слагаемыми в правых частях (A.4), (A.5), имеем

$$p_0^\delta = p_0^\delta(x, y). \quad (\text{A.7})$$

С точностью до членов порядка $O(\alpha^2)$ уравнение (A.2) и уравнение неразрывности (2) запишутся:

$$\frac{\partial \vec{u}}{\partial t} + (\vec{U} \nabla) \vec{u} + \frac{1}{\rho} \nabla_3 p_1^\delta = \nu \Delta_3 \vec{u}, \quad (\text{A.8})$$

$$\text{где } \Delta_3 = \frac{\partial^2}{\partial x^2} + \frac{\partial^2}{\partial y^2} + \frac{\partial^2}{\partial z^2}.$$

$$\frac{\partial u}{\partial x} + \frac{\partial v}{\partial y} + \frac{\partial w}{\partial z} = 0. \quad (\text{A.9})$$

Граничные условия на поверхности $z = -h$ удовлетворяют условиям прилипания:

$$[u, v, w]_{z=-h} = 0. \quad (\text{A.10})$$

В придонном пограничном слое вертикальная компонента скорости w мала по сравнению с компонентами скорости u, v , которые медленно изменяются в горизонтальном направлении по сравнению с вертикальным ($u_{xi}, v_{xi} \ll u_z, v_z$). Тогда, учитывая (A.9), из уравнения (A.8) получаем

$$\frac{\partial p_1^\delta}{\partial z} = 0, \quad (\text{A.11})$$

т.е. в пограничном слое δ градиентом давления по вертикали можно пренебречь, или, что то же, в придонном слое жидкости давление равно давлению в основном потоке жидкости. В силу (21), с точностью до членов порядка $O(\alpha^2, \alpha \varepsilon, \alpha \frac{1}{R^2}, \nu^2)$, можно записать

$$[p_1^\delta]_{-h \leq z = -h + \delta} = -\rho [\check{\Phi}_t + U_1 \check{\Phi}_x + U_2 \check{\Phi}_y]_{z=-h + \delta}. \quad (\text{A.12})$$

Таким образом, система уравнений (A.8) – (A.9) для пограничного придонного слоя δ имеет заданную функцию давления (A.12), а искомые функции скорости u, v, w , удовлетворяющие условию прилипания на дне (A.10), при удалении от точек поверхности $z = -h(x, y)$ будут асимптотически приближаться к скорости основного потока, описываемого функцией $\check{\Phi}(x, y, z, t)$ в слое $-h + \delta \leq z \leq \zeta$. Следовательно, при уменьшении толщины вязкостного слоя δ будет уменьшаться погрешность, вносимая заменой условия прилипания на дне условием непроницаемости.

СПИСОК ЛИТЕРАТУРЫ

1. Liu P., Yoon S., Dalrymple R. Wave reflection from energy dissipation region // J. Waterway, Port Coastal and Ocean Engineering. – 1986. – Vol. 112, N 6. – P. 632 – 644.
2. Berkhoff J.C. Computation of Combined Refraction-Diffraction // Proc. 13th Coastal Eng. Conf. – Vancouver, ASCE. – New York, 1972. – Vol. 1. – Chapter 24. – P. 471 – 490.
3. Booij N. Gravity waves on water with non-uniform depth and current // Dissertation, Delft Univ. of Tech. – Holland, 1981.
4. Ландау Л.Д., Лифшиц Е.М. Теоретическая физика. – М.: Наука, 1986. – Т. VI: Гидродинамика. – 736 с.
5. Liu P. Wave-current interaction on a slowly varying topography // J. Geophysical Research. – 1983. – N C7, Vol. 88. – P. 4421 – 4426.

6. Демченко Р.И. Математическая модель рефракционно-дифракционной трансформации волн на течениях прибрежной зоны с помощью гиперболической аппроксимации "уравнения пологих склонов" // Математические машины и системы. – 1999. – № 3. – С. 1 – 13.
7. Jing L., Ridd P, Mayocchi C., Heron M. Wave-induced benthic velocity variations in shallow waters // Estuarine, Coastal and Shelf science. – 1996. – Vol. 42. – P. 787 – 802.

Стаття надійшла до редакції 01.04.2008